

УДК 532.135, 532.5

## РАСЧЕТ ДВИЖЕНИЯ СФЕРИЧЕСКОЙ КАПЛИ В СРЕДЕ БИНГАМА

Ю. В. Пивоваров

Институт гидродинамики им. М. А. Лаврентьева СО РАН, 630090 Новосибирск  
E-mail: pivov@hydro.nsc.ru

Проведено математическое моделирование наблюдаемого в эксперименте процесса сближения двух одинаковых масляных капель, находящихся в равноплотном спиртово-водном растворе (матрице). Установлено, что капля движется циклически в режиме покой — разгон — торможение со временем цикла порядка  $10^{-2}$  с. Нарушение баланса сил на границе капли в состоянии покоя обусловлено тем, что касательные напряжения на ней не могут превышать предел текучести матрицы, при этом нормальные напряжения определяются из решения задачи теории упругости, поскольку межмолекулярные связи в покоящейся матрице делают ее подобной твердому телу. Результаты расчетов движения капли и экспериментальные данные хорошо согласуются в течение всего процесса сближения капель, за исключением финальной стадии, что можно объяснить неучетом гидродинамического взаимодействия капель.

**Ключевые слова:** регуляризация, неньютоновская жидкость, уравнения Стокса, вихрь, функция тока.

**Введение.** В работе [1], являющейся продолжением исследований, проведенных в [2], изучено поведение капель из вазелинового, подсолнечного и индустриального масел, находящихся в равноплотном спиртово-водном растворе, и обнаружено, что если расстояние между двумя каплями порядка их размеров, то независимо от масштаба системы происходит их медленное сближение с последующим слиянием в одну каплю. Экспериментальная установка, используемая в [1], была изолирована от внешних силовых и тепловых воздействий. В экспериментах установлено, что сближение наблюдается только в том случае, если обе капли обладают поверхностным натяжением.

В работе [3] предложен алгоритм вычисления силы взаимодействия капель на начальном этапе их разгона. Первым шагом в этом алгоритме является решение задачи теории упругости об определении компонент тензоров напряжений и векторов перемещений, удовлетворяющих следующим условиям на границах капель: скачок нормальных напряжений пропорционален поверхностному натяжению капель, как это принято в классической гидродинамике; касательные напряжения, а также нормальные и касательные перемещения непрерывны. В рамках теории упругости сила, действующая на каплю со стороны окружающей среды, которую согласно [1] будем называть матрицей, всегда равна нулю в силу уравнений равновесия внутри капли и постоянства поверхностного натяжения на ее границе. Однако в [3] отмечено, что касательные напряжения на границе капли не могут по модулю превышать предел текучести матрицы, тогда как ограничения на нормальные напряжения отсутствуют. Поэтому касательные напряжения необходимо скорректировать,

---

Работа выполнена в рамках Программы Отделения энергетики, машиностроения и процессов управления РАН № 14.3 и при финансовой поддержке Российского фонда фундаментальных исследований (код проекта 12-01-00149-а).

а нормальные оставить без изменения. В результате сила, действующая на каплю, будет отлична от нуля.

Возникновение полей напряжений и перемещений в покоящейся матрице можно объяснить наличием в ней молекулярных связей, делающих ее подобной твердому телу. Поскольку капля обладает поверхностным натяжением, она сжимается и тянет за собой частицы матрицы. В момент начала движения капли молекулярные связи разрушаются и сила исчезает, но капля продолжает двигаться по инерции, до тех пор пока не остановится. При этом молекулярные связи восстанавливаются, что приводит к появлению силы, разгоняющей каплю. Далее процесс повторяется.

В настоящей работе предполагается, что матрица является средой Бингама. Это наиболее простая модель среды, обладающей пределом текучести. Нормальные напряжения, возникающие в матрице в состояниях покоя [3] и движения, предлагается суммировать с весовыми коэффициентами, в сумме составляющими единицу. Это вызвано тем, что молекулярные связи в матрице разрушаются не мгновенно, а через некоторый промежуток времени, за который капля пройдет расстояние порядка размеров одной молекулы воды ( $3 \cdot 10^{-10}$  м). Таким образом, сила, обусловленная нормальными напряжениями в покоящейся матрице, является внешней для капли и действует в течение очень малого промежутка времени. Влиянием другой капли на гидродинамическое течение в матрице пренебрегается.

При разработке алгоритма расчета движения капли используется регуляризованная модель жидкости Бингама [4, 5]. По сути, эта модель сводится к описанию движения неньютоновской жидкости, вязкость которой зависит от второго инварианта тензора скоростей деформаций. Уравнения движения записываются в переменных вихрь — функция тока.

Для тестирования алгоритма используются известное аналитическое решение в случае ньютоновской жидкости [6] и результаты расчетов [7] для случая жидкости Бингама. Проводится подгонка результатов расчета к имеющимся экспериментальным данным по трем параметрам: отношению модулей сдвига материалов капли и матрицы, пределу текучести материала матрицы и расстоянию, которое проходит капля до момента полного разрушения молекулярных связей в матрице.

**1. Параметры задачи и искомые функции.** Пусть  $r, z, \varphi$  — цилиндрическая система координат с началом в центре капли, причем ось  $z$  направлена в сторону другой капли (так как капли сближаются, вектор скорости капли направлен вдоль оси  $z$ ) (рис. 1).

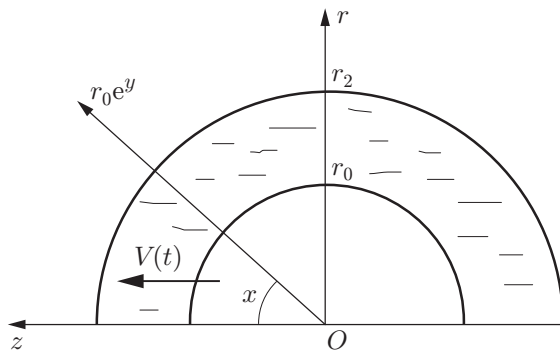


Рис. 1. Схема задачи и системы координат

Введем преобразование координат

$$r = r_0 e^y \sin x, \quad z = r_0 e^y \cos x,$$

где  $r_0$  — радиус капли. Тогда область течения конформно отобразится на прямоугольник  $0 \leq x \leq \pi$ ,  $0 \leq y \leq Y$  ( $Y = \ln(r_2/r_0)$ ;  $r_2$  — радиус шара, внутри которого движется жидкость). Данная система координат движется вместе с каплей. При этом равенство  $y = 0$  определяет границу капли,  $y = Y$  — внешнюю границу области течения,  $x = 0$ ,  $x = \pi$  — отрезки на оси симметрии.

Размерными параметрами задачи являются радиус капли  $r_0 = 0,005$  м, характерная скорость капли  $V_0 = 10^{-6}$  м/с, характерное время процесса  $t_0 = 10^{-2}$  с, плотность капли  $\rho_0 = 10^3$  кг/м<sup>3</sup>, масса капли  $m = (4/3)\pi r_0^3 \rho_0 = 5,24 \cdot 10^{-4}$  кг, кинематическая вязкость материала матрицы  $\nu_0 = 10^{-6}$  м<sup>2</sup>/с, предел текучести материала матрицы  $k_0 = 10^{-4} \div 10^{-3}$  Па, эффективная вязкость материала матрицы (вязкость, обусловленная наличием у нее предела текучести)  $\nu_1 = k_0 r_0 / (\rho_0 V_0) = 5 \cdot 10^{-4} \div 5 \cdot 10^{-3}$  м<sup>2</sup>/с, расстояние, пройденное каплей за время действия разгоняющей силы,  $z_0 \approx 3 \cdot 10^{-10}$  м, поверхностное натяжение капли  $\gamma_0 = 0,02$  Н/м, модули сдвига материала капли  $G_1 \approx 10^9$  Па и матрицы  $G_2 = 5 \cdot 10^8$  Па, коэффициенты объемного сжатия материала капли  $K_1 = (1/6) \cdot 10^{10}$  Па и матрицы  $K_2 = 2 \cdot 10^9$  Па, расстояние между центрами капель  $r_1 = (2 \div 3,2)r_0$  (при  $r_1 = 2r_0$  капли соприкасаются, а при  $r_1 > 3,2r_0$  сближение капель прекращается), радиус шара  $r_2$ , внутри которого ищется решение.

Параметры  $k_0$ ,  $z_0$ ,  $G_1/G_2$  являются подгоночными параметрами модели, выбираемыми с учетом условия соответствия результатов расчетов экспериментальным данным.

Числа Пуассона (обратные коэффициенты Пуассона) определяются равенствами [8]

$$m_k = \frac{6K_k + 2G_k}{3K_k - 2G_k}, \quad k = 1, 2,$$

причем  $2 \leq m_k < \infty$ , значение  $m_k = 2$  соответствует несжимаемому материалу  $k$ -й среды. При заданных значениях  $m_2 = 2,6$ ,  $K_1/K_2$ ,  $G_1/G_2$  величина  $m_1$  определяется следующим образом:

$$m_1 = \left( 2 \frac{G_2}{G_1} \frac{K_1}{K_2} + \frac{m_2 - 2}{m_2 + 1} \right) / \left( \frac{G_2}{G_1} \frac{K_1}{K_2} - \frac{m_2 - 2}{m_2 + 1} \right).$$

Поэтому, для того чтобы существовало положительное значение  $m_1$ , должно выполняться условие

$$\frac{G_1}{G_2} < \frac{K_1(m_2 + 1)}{K_2(m_2 - 2)} = 5.$$

Заметим, что характерные значения  $V_0$ ,  $k_0$  получены в эксперименте,  $K_1$ ,  $K_2$  взяты из справочника, а  $t_0$ ,  $m_2$  — из работы [3].

Искомые функциями являются компоненты вектора скорости  $u, v$  в направлениях  $x, y$ ; функция тока  $\Psi$  и завихренность  $\omega$ , связанные с компонентами вектора скорости и коэффициентом Ламе  $H$  следующим образом:

$$u = \frac{1}{rH} \frac{\partial \Psi}{\partial y}, \quad v = -\frac{1}{rH} \frac{\partial \Psi}{\partial x}, \quad \omega = \frac{1}{H^2} \left( \frac{\partial (uH)}{\partial y} - \frac{\partial (vH)}{\partial x} \right); \quad (1)$$

$$H = \sqrt{(\partial r / \partial x)^2 + (\partial r / \partial y)^2} = r_0 e^y; \quad (2)$$

компоненты тензора скоростей деформаций  $D$

$$\begin{aligned} D_{xx} &= \frac{1}{H} \left( \frac{\partial u}{\partial x} + v \right), & D_{yy} &= \frac{1}{H} \frac{\partial v}{\partial y}, & D_{\varphi\varphi} &= \frac{1}{H} (u \operatorname{ctg} x + v), \\ D_{xy} &= \frac{1}{2H} \left( \frac{\partial u}{\partial y} - u + \frac{\partial v}{\partial x} \right); \end{aligned} \quad (3)$$

модуль (корень из второго инварианта) тензора скоростей деформаций

$$|D| = \sqrt{D_{xx}^2 + D_{yy}^2 + D_{\varphi\varphi}^2 + 2D_{xy}^2}; \quad (4)$$

функция вязкости матрицы  $\nu(|D|)$ ; гидродинамическое давление  $p$  на поверхности капли; касательные  $P_{xy}$  и нормальные  $P_{yy}$  напряжения на границе капли, обусловленные наличием гидродинамического течения вокруг нее; составляющие силы, действующей на каплю, обусловленные действием нормальных  $G_{z1}$  и касательных  $G_{z2}$  напряжений при наличии гидродинамического течения вокруг капли; нормальная компонента тензора напряжений  $T_{yy}^{(2)}$ , обусловленная наличием поверхностного натяжения каплей, создающего в покоящейся матрице поле напряжений (см. [3]); сила  $F_{z1}$ , обусловленная действием напряжений  $T_{yy}^{(2)}$  на поверхности капли; суммарная сила  $G'_z$ , действующая на каплю; скорость капли  $V(t)$  ( $t$  — время, отсчитываемое с момента начала цикла); расстояние  $z_1(t)$ , пройденное каплей; средняя скорость  $V_c$  капли в течение одного цикла, включающего разгон капли, ее торможение и состояние покоя; время цикла  $t_c$ ; расстояние  $z_1(t_c)$ , пройденное каплей в течение одного цикла. Величины  $V_c$ ,  $t_c$ ,  $z_1(t_c)$  являются функциями расстояния  $r_1$  между центрами каплей.

Установим следующую связь размерных (отмеченных знаком “ $\sim$ ”) и безразмерных величин:

$$\begin{aligned} \tilde{H} &= r_0 H, & \tilde{u} &= V_0 u, & \tilde{v} &= V_0 v, & \tilde{\Psi} &= r_0^2 V_0 \Psi, & \tilde{\omega} &= \frac{V_0}{r_0} \omega, & \tilde{D}_{ij} &= \frac{V_0}{r_0} D_{ij}, \\ |\tilde{D}| &= \frac{V_0}{r_0} |D|, & \tilde{p} &= k_0 p, & \tilde{P}_{xy} &= k_0 P_{xy}, & \tilde{P}_{yy} &= k_0 P_{yy}, & \tilde{T}_{yy}^{(2)} &= k_0 T_{yy}^{(2)}, \\ \tilde{G}_{z1} &= \pi^2 r_0^2 k_0 G_{z1}, & \tilde{G}_{z2} &= \pi^2 r_0^2 k_0 G_{z2}, & \tilde{F}_{z1} &= \pi^2 r_0^2 k_0 F_{z1}, & \tilde{G}_z &= \pi^2 r_0^2 k_0 G_z, & (5) \\ \tilde{V}(t) &= V_0 V(t), & \tilde{z}_1 &= z_0 z_1, & \tilde{t} &= t_0 t, & \tilde{V}_c &= V_0 V_c, & \tilde{t}_c &= t_0 t_c, \\ \tilde{z}_1(\tilde{t}_c) &= z_0 z_1(t_c), & \tilde{r}_1 &= r_0 r_1, & \tilde{r}_2 &= r_0 r_2, & \tilde{\nu} &= \nu_1 \nu. \end{aligned}$$

**2. Безразмерные критерии подобия.** Из уравнений задачи, записанных в безразмерном виде, следуют критерии подобия  $\operatorname{Re} = r_0^2 / (\nu_1 t_0) = 0,5 \div 5,0$  — число Рейнольдса;  $\alpha = \nu_0 / \nu_1 = 2 \cdot 10^{-4} \div 2 \cdot 10^{-3}$  — отношение кинематической и эффективной вязкостей (число, обратное числу Бингама [7]);  $A = t_0 \pi^2 r_0^2 k_0 / (m V_0) = 0,471 \div 4,710$  — отношение характерной силы к произведению массы капли и ее ускорения;  $B = t_0 V_0 / z_0 \approx 50$  — кинематический параметр;  $G_{12} = G_1 / G_2 = 1 \div 5$  — отношение модулей сдвига материалов капли и матрицы;  $K_{12} = K_1 / K_2 = 5/6$  — отношение коэффициентов объемного сжатия материалов капли и матрицы;  $m_1 \approx 4$ ,  $m_2 = 2,6$  — числа Пуассона материалов капли и матрицы;  $r_1 = 2,0 \div 3,2$  — безразмерное расстояние между центрами каплей;  $r_2 = 7$  — безразмерный радиус внешнего шара;  $\Gamma = \gamma_0 / (\pi r_0 k_0) = 4000/\pi \div 40\,000/\pi$  — отношение напряжений, вызванных влиянием поверхностного натяжения каплей, к напряжениям, обусловленным наличием предела текучести матрицы.

**3. Постановка задачи.** Вследствие малости параметра  $\operatorname{Re}' = V_0 r_0 / \nu_1 = 10^{-6} \div 10^{-5}$  нелинейные конвективные члены в уравнении для завихренности можно опустить. Тогда это уравнение принимает вид [9]

$$\frac{\partial \omega}{\partial t} - \frac{1}{\operatorname{Re} H^2} \left[ \frac{\partial}{\partial x} \left( \frac{1}{r} \frac{\partial}{\partial x} (r \nu \omega) \right) + \frac{\partial}{\partial y} \left( \frac{1}{r} \frac{\partial}{\partial y} (r \nu \omega) \right) \right] = G.$$

Регуляризованная функция вязкости  $\nu(|D|)$  имеет вид [5]

$$\nu = \begin{cases} \alpha + 1/(\sqrt{2}|D|), & |D| > 3\delta/2, \\ f(|D|), & \delta/2 \leq |D| \leq 3\delta/2, \\ \alpha + 1/(\sqrt{2}\delta), & |D| < \delta/2. \end{cases} \quad (6)$$

Здесь  $\delta$  — малое число; величина  $|D|$  определяется формулами (1)–(4);  $f(|D|)$  — полином пятой степени, осуществляющий “склеивку” значений функции  $\nu(|D|)$ , а также ее первых и вторых производных в точках  $|D| = \delta/2$  и  $|D| = 3\delta/2$ :

$$f(|D|) = \alpha + 1/(\sqrt{2}\delta) - 17\sqrt{2}(|D| - \delta/2)^3/(27\delta^4) + \\ + 35\sqrt{2}(|D| - \delta/2)^4/(54\delta^5) - 5\sqrt{2}(|D| - \delta/2)^5/(27\delta^6).$$

Правая часть уравнения для завихренности определяется выражением

$$G = \frac{2}{\text{Re } H^2} \left\{ \frac{\partial}{\partial x} \left[ \frac{\partial \nu}{\partial x} \left( -\frac{1}{H} \frac{\partial}{\partial y} \left( \frac{1}{rH} \frac{\partial \Psi}{\partial y} \right) - \frac{1}{rH^3} \frac{\partial H}{\partial x} \frac{\partial \Psi}{\partial x} \right) - \right. \right. \\ \left. \left. - \frac{\partial \nu}{\partial y} \left( -\frac{1}{H} \frac{\partial}{\partial y} \left( \frac{1}{rH} \frac{\partial \Psi}{\partial x} \right) + \frac{1}{rH^3} \frac{\partial H}{\partial x} \frac{\partial \Psi}{\partial y} \right) \right] + \right. \\ \left. + \frac{\partial}{\partial y} \left[ \frac{\partial \nu}{\partial x} \left( \frac{1}{H} \frac{\partial}{\partial x} \left( \frac{1}{rH} \frac{\partial \Psi}{\partial y} \right) - \frac{1}{rH^3} \frac{\partial H}{\partial y} \frac{\partial \Psi}{\partial x} \right) - \right. \right. \\ \left. \left. - \frac{\partial \nu}{\partial y} \left( \frac{1}{H} \frac{\partial}{\partial x} \left( \frac{1}{rH} \frac{\partial \Psi}{\partial x} \right) + \frac{1}{rH^3} \frac{\partial H}{\partial y} \frac{\partial \Psi}{\partial y} \right) \right] \right\}. \quad (7)$$

Уравнение для функции тока имеет вид

$$\frac{\partial}{\partial x} \left( \frac{1}{r} \frac{\partial \Psi}{\partial x} \right) + \frac{\partial}{\partial y} \left( \frac{1}{r} \frac{\partial \Psi}{\partial y} \right) = H^2 \omega. \quad (8)$$

Граничные условия для функции тока и завихренности следующие:

$$\begin{aligned} y = 0: & \quad \Psi = 0, \quad \partial \Psi / \partial y = 0, \\ x = 0, x = \pi: & \quad \Psi = 0, \quad \omega = 0, \\ y = Y: & \quad \Psi = V(t)r^2/2, \quad \omega = 0. \end{aligned} \quad (9)$$

Начальные условия:

$$t = 0: \quad \Psi = 0, \quad \omega = 0, \quad V(t) = 0.$$

Скорость капли  $V(t)$  вычисляется следующим образом. Пусть  $T_{yy}^{(2)}$  — нормальная компонента тензора напряжений в матрице на поверхности капли, являющаяся решением указанной выше задачи теории упругости. Тогда суммарная сила, обусловленная действием этих напряжений, равна

$$F_{z1} = \frac{2}{\pi} \int_0^\pi T_{yy}^{(2)} \cos x \sin x \, dx.$$

В работе [3] выведена приближенная формула

$$F_{z1} \approx \frac{48\Gamma(G_{12} - 1)(m_2 - 2)(m_2 + 1)r_1^{-7}L(r_1)}{(2m_2 - 4 + K_{12}(m_2 + 1))((7 + 8G_{12})m_2 - 5 - 10G_{12})}$$

Значения эмпирической функции  $L(r_1)$ 

$r_1$	$L(r_1)$	$r_1$	$L(r_1)$
2,0	4,0195	2,7	2,1243
2,1	3,5871	2,8	2,0152
2,2	3,1926	2,9	1,9238
2,3	2,8724	3,0	1,8464
2,4	2,6191	3,1	1,7802
2,5	2,4182	3,2	1,7231
2,6	2,2563	—	—

(безразмерные параметры  $\Gamma$ ,  $G_{12}$ ,  $K_{12}$ ,  $m_2$  описаны в п. 2). Значения эмпирической функции  $L(r_1)$  представлены в таблице.

При  $m_2 \geq 3$  величина  $F_{z1}$  слабо зависит от  $m_2$ , поэтому оптимизацию решения по параметру  $m_2$  проводить не нужно. Положим  $m_2 = 2,6$ . Номинальным значением  $G_{12}$  является  $G_{12} = 2$  (тогда  $m_1 = 4$ ). При  $m_2 < 2,6$  значения  $F_{z1}$ , меньшие по сравнению со значениями  $F_{z1}$  при  $m_2 = 2,6$ , можно получить, уменьшая параметр  $G_{12}$ , а большие — увеличивая его. Вообще говоря, допустимыми являются значения  $G_{12} \in (1, 5)$ , но оптимизацию будем проводить в более узком диапазоне  $G_{12} \in [2, 4]$ .

Выражения для нормальных и касательных напряжений на границе капли, обусловленных наличием гидродинамического течения вокруг нее, имеют вид

$$P_{yy} = -p, \quad P_{xy} = \nu\omega,$$

где  $p$  — гидродинамическое давление:

$$p = \int_0^x \frac{1}{r} \frac{\partial(r\nu\omega)}{\partial y} dx.$$

Составляющие силы, обусловленные наличием нормальных и касательных напряжений в гидродинамическом течении вокруг капли, равны

$$G_{z1} = \frac{2}{\pi} \int_0^\pi P_{yy} \cos x \sin x dx, \quad G_{z2} = -\frac{2}{\pi} \int_0^\pi P_{xy} \sin^2 x dx.$$

Суммарная сила, действующая на каплю, определяется по формуле

$$G'_z = \xi(z_1)F_{z1} + (1 - \xi(z_1))G_{z1} + G_{z2},$$

где

$$\xi(z_1) = \begin{cases} 1 - z_1, & z_1 < 1, \\ 0, & z_1 \geq 1 \end{cases} \quad (10)$$

доля неразрушенных молекулярных связей в матрице, за счет которых она приобрела свойства твердого тела. Из (10) следует, что эта величина линейно зависит от расстояния, пройденного каплей, и обращается в нуль, когда оно становится приблизительно равным размеру одной молекулы воды. Заметим, что сила  $F_{z1}$  является разгоняющей, сила  $G_{z2}$  — тормозящей, а сила  $G_{z1}$  может быть как разгоняющей, так и тормозящей.

Скорость капли определяется по формуле

$$V(t) = A \int_0^t G'_z(t) dt.$$

Расстояние, пройденное каплей, равно

$$z_1(t) = B \int_0^t V(t) dt.$$

Пусть  $t_c$  — момент времени, в который значение  $|D|$  во всей области  $0 \leq x \leq \pi$ ,  $0 \leq y \leq Y$  становится меньше  $\delta/2$ . Тогда средняя скорость капли в течение одного цикла определяется соотношением

$$\tilde{V}_c = V_0 \frac{z_1(t_c)}{Bt_c}.$$

В эксперименте с каплями подсолнечного масла установлено, что при  $r_1 = 3$   $\tilde{V}_c = 1,8925 \cdot 10^{-7}$  м/с, при  $r_1 = 2,8$   $\tilde{V}_c = 2,4752 \cdot 10^{-7}$  м/с, а при  $r_1 = 2,6$   $\tilde{V}_c = 2,6274 \cdot 10^{-7}$  м/с. При меньших расстояниях между центрами капель, по-видимому, большое влияние оказывают силы их гидродинамического взаимодействия. Поэтому далее используются указанные экспериментальные данные. Таким образом, поставлена задача о подборе параметров  $G_{12}$ ,  $k_0$ ,  $z_0$ , обеспечивающих вычисление значений средней скорости, максимально близких к трем заданным экспериментальным значениям. Набор этих параметров, доставляющий минимум некоторому функционалу (см. п. 7), будем называть оптимальным.

**4. Численный метод решения задачи.** Уравнение (6) можно записать в виде

$$\left( \frac{\partial}{\partial t} + L_1 + L_2 \right) \omega = G, \quad (11)$$

где

$$L_1 \omega = -\frac{1}{\text{Re } H^2} \frac{\partial}{\partial x} \left( \frac{1}{r} \frac{\partial}{\partial x} (r\nu\omega) \right), \quad L_2 \omega = -\frac{1}{\text{Re } H^2} \frac{\partial}{\partial y} \left( \frac{1}{r} \frac{\partial}{\partial y} (r\nu\omega) \right).$$

Пусть задана неравномерная сетка

$$0 = x_0 < x_1 < \dots < x_{N-1} < x_N = \pi, \quad 0 = y_0 < y_1 < \dots < y_{M-1} < y_M = Y.$$

Введем следующие обозначения:

$$\begin{aligned} x_{n-1/2} &= (x_{n-1} + x_n)/2, & h_{xn-1/2} &= x_n - x_{n-1}, & n &= \overline{1, N}, \\ y_{m-1/2} &= (y_{m-1} + y_m)/2, & h_{ym-1/2} &= y_m - y_{m-1}, & m &= \overline{1, M}, \\ \bar{h}_{xn} &= (x_{n+1} - x_{n-1})/2, & n &= \overline{1, N-1}, \\ \bar{h}_{ym} &= (y_{m+1} - y_{m-1})/2, & m &= \overline{1, M-1}. \end{aligned}$$

Будем считать, что

$$h_{xn+1/2} - h_{xn-1/2} = O(h_{xn+1/2}^2), \quad h_{ym+1/2} - h_{ym-1/2} = O(h_{ym+1/2}^2).$$

Введем также равномерную сетку на полуоси  $t \geq 0$  с шагом  $\tau$ . Для любой функции  $f(x, y, t)$  примем обозначение

$$f(x_n, y_m, k\tau) = f_{nm}^k,$$

причем индексы  $n, m$  могут быть дробными либо отсутствовать, если  $f$  не зависит от  $x, y$  или если эти индексы несущественны. Индекс  $k$  может отсутствовать, если  $f$  не зависит от  $t$  или если этот индекс несуществен.

Дифференциальные операторы  $L_1, L_2$  аппроксимируем разностными операторами  $\Lambda_1, \Lambda_2$  следующим образом:

$$\Lambda_1 \omega_{nm} = -\frac{1}{\operatorname{Re} H_{nm}^2 \bar{h}_{xn}} \left( \frac{r_{n+1m} \nu_{n+1m} \omega_{n+1m} - r_{nm} \nu_{nm} \omega_{nm}}{r_{n+1/2m} h_{xn+1/2}} - \frac{r_{nm} \nu_{nm} \omega_{nm} - r_{n-1m} \nu_{n-1m} \omega_{n-1m}}{r_{n-1/2m} h_{xn-1/2}} \right),$$

$$\Lambda_2 \omega_{nm} = -\frac{1}{\operatorname{Re} H_{nm}^2 \bar{h}_{ym}} \left( \frac{r_{nm+1} \nu_{nm+1} \omega_{nm+1} - r_{nm} \nu_{nm} \omega_{nm}}{r_{nm+1/2} h_{ym+1/2}} - \frac{r_{nm} \nu_{nm} \omega_{nm} - r_{nm-1} \nu_{nm-1} \omega_{nm-1}}{r_{nm-1/2} h_{ym-1/2}} \right).$$

Аппроксимируем (11) с помощью формулы

$$(E + \gamma \tau \Lambda_1^k)(E + \gamma \tau \Lambda_2^k) \frac{\omega_{nm}^{k+1} - \omega_{nm}^k}{\tau} = G_{nm}^k - (\Lambda_1^k + \Lambda_2^k) \omega_{nm}^k, \quad (12)$$

$$n = \overline{1, N-1}, \quad m = \overline{1, M-1},$$

где  $E$  — тождественный оператор;  $\gamma = 0 \div 1$  — весовой коэффициент. Из уравнения (8) и первых двух условий (9) следует, что на границе капли приближенно выполняется условие Тома

$$\omega_{n0}^{k+1} = \frac{2\Psi_{n1}^{k+1}}{r_{n0} H_{n0}^2 h_{y1/2}^2}.$$

Функцию  $\omega_{nm}^{k+1}$  представим в виде

$$\omega_{nm}^{k+1} = \hat{\omega}_{nm}^{k+1} + P_{nm}^{k+1} \left( \frac{2\Psi_{n1}^{k+1}}{r_{n0} H_{n0}^2 h_{y1/2}^2} - \omega_{n0}^k \right), \quad (13)$$

где сеточная функция  $P_{nm}^{k+1}$  удовлетворяет задаче

$$(E + \gamma \tau \Lambda_2^k) P_{nm}^{k+1} = 0, \quad P_{n0}^{k+1} = 1, \quad P_{nM}^{k+1} = 0, \quad n = \overline{1, N-1},$$

а функция  $\hat{\omega}_{nm}^{k+1}$  — уравнению (12) и граничным условиям

$$\hat{\omega}_{n0}^{k+1} = \omega_{n0}^k, \quad \hat{\omega}_{nM}^{k+1} = 0, \quad n = \overline{0, N}, \quad \hat{\omega}_{0m}^{k+1} = \hat{\omega}_{NM}^{k+1} = 0, \quad m = \overline{0, M}. \quad (14)$$

Подставляя в правую часть уравнения (8) выражение (13) и аппроксимируя его левую часть, получаем уравнение для функции тока (в силу (14) функцию  $\omega_{n0}^k$  можно заменить на  $\hat{\omega}_{n0}^{k+1}$ )

$$a_{nm}^x \Psi_{n-1m}^{k+1} + b_{nm}^x \Psi_{n+1m}^{k+1} + a_{nm}^y \Psi_{nm-1}^{k+1} + b_{nm}^y \Psi_{nm+1}^{k+1} - c_{nm} \Psi_{nm}^{k+1} + d_{nm}^{y k+1} \Psi_{n1}^{k+1} = -f_{nm}^{k+1}, \quad n = \overline{1, N-1}, \quad m = \overline{1, M-1}, \quad (15)$$

где

$$a_{nm}^x = \frac{1}{r_{n-1/2m} h_{xn-1/2} \bar{h}_{xn}}, \quad b_{nm}^x = \frac{1}{r_{n+1/2m} h_{xn+1/2} \bar{h}_{xn}},$$



$$\begin{aligned}
a_{nm}^y &= \frac{1}{r_{nm-1/2} h_{ym-1/2} \bar{h}_{ym}}, & b_{nm}^y &= \frac{1}{r_{nm+1/2} h_{ym+1/2} \bar{h}_{ym}}, \\
c_{nm} &= a_{nm}^x + b_{nm}^x + a_{nm}^y + b_{nm}^y, \\
d_{nm}^{yk+1} &= -\frac{2H_{nm}^2 P_{nm}^{k+1}}{r_{n0} H_{n0}^2 h_{y1/2}^2}, & f_{nm}^{k+1} &= -H_{nm}^2 (\hat{\omega}_{nm}^{k+1} - \hat{\omega}_{n0}^{k+1} P_{nm}^{k+1}).
\end{aligned} \tag{16}$$

Уравнение (15) нужно дополнить граничными условиями (9):

$$\Psi_{n0}^{k+1} = 0, \quad \Psi_{nM}^{k+1} = V^{k+1} r_{nM}^2 / 2, \quad n = \overline{0, N}, \quad \Psi_{0m}^{k+1} = \Psi_{Nm}^{k+1} = 0, \quad m = \overline{0, M}. \tag{17}$$

Система уравнений (15), (17) отличается от системы (33), (34), полученной в работе [9], тем, что в левой части (15) отсутствует член  $e_{nm}^{yk+1} \Psi_{nM-1}^{k+1}$ , а правые части граничных условий (17) имеют другой вид. Поэтому для решения системы (15), (17) можно использовать описанный в [9] способ решения, положив  $e_{nm}^{yk+1} = 0$ .

**5. Особенности аппроксимации некоторых функций.** При вычислении компонент тензора скоростей деформаций по формулам (3) и правой части уравнения для вихря по формуле (7) следует учитывать особенности аппроксимируемых выражений. Рассмотрим, например, функцию  $\partial u / \partial x$ , входящую в выражение для вычисления  $D_{xx}$  (см. первую формулу в (3)). В силу (1) имеем

$$\frac{\partial u}{\partial x} = \frac{\partial}{\partial x} \left( \frac{1}{rH} \frac{\partial \Psi}{\partial y} \right) = e^{-2y} \frac{\partial}{\partial x} \left( \frac{1}{\sin x} \frac{\partial \Psi}{\partial y} \right).$$

При  $x \rightarrow 0$  функция  $\partial \Psi / \partial y$  имеет следующую асимптотику:

$$\frac{\partial \Psi}{\partial y} = a(y)x^2 + O(x^4).$$

Кроме того,

$$\sin x = x + O(x^3).$$

Рассмотрим сетку с постоянным шагом  $h_x$  по оси  $x$ . Аппроксимируем производную  $\partial u / \partial x$  следующим образом:

$$\begin{aligned}
\frac{\partial u}{\partial x} \Big|_{nm} &\approx \frac{e^{-2ym}}{2h_x \varepsilon} \left( \frac{(1-\varepsilon)(\partial \Psi / \partial y) \Big|_{nm} + \varepsilon(\partial \Psi / \partial y) \Big|_{n+1m}}{(1-\varepsilon) \sin(x_n) + \varepsilon \sin(x_{n+1})} - \right. \\
&\quad \left. - \frac{(1-\varepsilon)(\partial \Psi / \partial y) \Big|_{nm} + \varepsilon(\partial \Psi / \partial y) \Big|_{n-1m}}{(1-\varepsilon) \sin(x_n) + \varepsilon \sin(x_{n-1})} \right). \tag{18}
\end{aligned}$$

Тогда при  $n = 1$  получаем

$$\begin{aligned}
\frac{\partial u}{\partial x} \Big|_{1m} &\approx \frac{a_m e^{-2ym}}{2h_x \varepsilon} \left( \frac{h_x^2(1-\varepsilon) + 4h_x^2 \varepsilon + O(h_x^4)}{h_x(1-\varepsilon) + 2h_x \varepsilon + O(h_x^3)} - \frac{h_x^2(1-\varepsilon) + O(h_x^4)}{h_x(1-\varepsilon) + O(h_x^3)} \right) = \\
&= \frac{a_m e^{-2ym}}{1+\varepsilon} + O(h_x^2).
\end{aligned}$$

В то же время непосредственные вычисления показывают, что

$$\frac{\partial u}{\partial x} \Big|_{1m} = a_m e^{-2ym} + O(h_x^2).$$

Таким образом, если  $\varepsilon = O(h_x^2)$ , то при  $n = 1$  формула (18) имеет второй порядок аппроксимации. Из численных экспериментов следует, что в этом случае второй порядок

аппроксимации формулы (18) сохраняется при любых  $n = \overline{1, N-1}$ . В расчетах полагалось  $\varepsilon = 1/N^2$ . Исследования показали, что введение малого параметра  $\varepsilon$  необходимо только в случае, если в аппроксимируемом выражении имеется член вида  $(\partial/\partial x)((1/\sin x) \partial\Psi/\partial y)$ . Среди компонент тензора скоростей деформаций другие такие члены отсутствуют, но имеется три члена в выражении для  $G_{nm}$  (первый, четвертый и пятый члены в правой части формулы (7)). Остальные члены следует аппроксимировать стандартным образом, что соответствует значению  $\varepsilon = 1/2$ .

**6. Результаты тестирования программы.** Для численного моделирования движения капли составлена компьютерная программа.

При  $\nu = \text{const}$  численное стационарное решение исследовалось на сходимость к точному решению Стокса, описывающему движение сферы в безграничной ньютоновской жидкости [8]. При измельчении расчетной сетки получен второй порядок сходимости вихря и функции тока к точным аналогам.

Для решения Стокса приближенно вычислялись функции  $D_{xx}$ ,  $D_{yy}$ ,  $D_{\varphi\varphi}$ ,  $D_{xy}$  (см. формулы (1), (3)). При измельчении расчетной сетки для этих функций установлен второй порядок сходимости к точным аналогам.

При  $\nu_{nm} = 1 + x_n + y_m$  для решения Стокса вычислялись восемь членов (из которых шесть членов являлись ненулевыми) в выражении для функции  $G$  (см. формулу (7)). При измельчении расчетной сетки для каждого из этих членов получен второй порядок сходимости к точным аналогам.

При  $\nu_{nm} = 1 + x_n^2 + y_m^2$  исследовано стационарное решение на сходимость “в себе” [9]. При измельчении расчетной сетки установлен второй порядок сходимости вихря и функции тока.

В случае функции  $\nu_{nm}$ , определяемой формулой (6) при  $\delta = 0,1$ ,  $\alpha = 1$ , исследовалось стационарное решение на сходимость “в себе”. При измельчении расчетной сетки получен второй порядок сходимости для вихря и функции тока.

При  $\nu_{nm} = 1 + N_B/(2|D_{nm}| + P_R)$ ,  $N_B = 0,747$ ,  $P_R = 1,038 \cdot 10^{-4}$  рассчитывалось стационарное решение и сравнивалось с решением, полученным в работе [7]. Изолинии функции тока и функции  $|D|$  хорошо согласуются с изолиниями этих функций, полученными в работе [7]. Незначительные различия можно объяснить различным числом разбиений расчетной области: в работе [7]  $N = 16$ ,  $M = 14$ , в настоящей работе  $N = 80$ ,  $M = 80$ .

**7. Порядок расчетов и их результаты.** Несмотря на то что путем введения параметра  $\delta$  выполнена регуляризация задачи, она является плохо обусловленной вследствие малости параметра  $\alpha \sim 10^{-3}$ . Проведенные исследования показали, что для корректного расчета при таком значении  $\alpha$  необходимо использовать большое число разбиений ( $N = 80$ ,  $M = 80$ ), сильно сгущающуюся вблизи границы капли сетку и очень малый шаг по времени  $\tau \sim 10^{-6}$ . В результате время расчета одного варианта составляет порядка 1 сут. Если рассчитывать тот же вариант при  $\alpha = 0,1$ , то значения средней скорости капли различаются лишь на 10 %. При этом время расчета одного варианта составляет порядка 1 мин.

При расчете одного варианта задавались следующие исходные данные:  $\delta = 0,1$ ,  $\alpha = 0,1$ ,  $N = 40$ ,  $M = 40$ ,  $\varepsilon = 10^{-9}$ ,  $\tau = 5 \cdot 10^{-4}$ ,  $r_0 = 0,005$ ,  $\gamma = 0,99$ ,  $k_0 = 10^{-4} \div 5 \cdot 10^{-4}$ ,  $G_{12} = 2 \div 4$ ,  $z_0 = 3 \cdot 10^{-10} \div 7 \cdot 10^{-10}$ ,  $r_1 = 2 \div 3$ .

Сетка строилась следующим образом: минимальный шаг по оси  $y$  выбирался равным  $0,2Y/M$ . Этот шаг достигался при  $y = 0$ . При  $y = y_m$  и  $y = y_{m-1}$  отношение шагов сетки было постоянным и большим единицы при  $m \leq M/2 - 1$ . При  $m = M/2 - 1$  и  $m = M/2$  шаги сетки были равны, а при  $m > M/2$  они уменьшались с постоянным коэффициентом до значения  $Y/M$  при  $m = M - 1$ . Шаг сетки по оси  $x$  был постоянным и равным  $\pi/N$ .

При вычислении функции тока сначала определялся параметр

$$P_* = \int_0^\pi \Psi^2(x, Y) dx + \iint_D f^2(x, y) dx dy.$$

Здесь функция  $f(x_n, y_m) = f_{nm}$  определяется по формуле (16). Затем итерационно решалась задача (15), (17), до тех пор пока параметр

$$\varepsilon_L = \left( \frac{1}{P_*} \iint_D N_*^2(x, y) dx dy \right)^{1/2}$$

( $N_*(x_n, y_m)$  — невязка уравнения (15);  $L$  — число итераций) не становился меньше  $\varepsilon$ .

Расчет прекращался, если  $\max_{n,m} |D_{nm}^{k+1}| \leq 0,5\delta$  и  $\max_{n,m} |D_{nm}^k| \geq 0,5\delta$ .

В расчетах определялся минимум функционала

$$F_* = [0,25(\tilde{V}_c|_{r_1=2,6} - 2,6274 \cdot 10^{-7})^2 + 0,75(\tilde{V}_c|_{r_1=2,8} - 2,4752 \cdot 10^{-7})^2 + (\tilde{V}_c|_{r_1=3} - 1,8925 \cdot 10^{-7})^2] \cdot 10^{14}.$$

При этом параметры задачи принимали следующие значения:  $k_0 = 10^{-4}; 2 \cdot 10^{-4}; 3 \cdot 10^{-4}; 4 \cdot 10^{-4}; 5 \cdot 10^{-4}$ ,  $G_{12} = 2,0; 2,5; 3,0; 3,5; 4,0$ ,  $z_0 = 3 \cdot 10^{-10}; 4 \cdot 10^{-10}; 5 \cdot 10^{-10}; 6 \cdot 10^{-10}; 7 \cdot 10^{-10}$ . Таким образом задача решалась  $3 \cdot 125 = 375$  раз. Получены следующие результаты расчетов:  $k_0 = 10^{-4}$ ,  $G_{12} = 4$ ,  $z_0 = 4 \cdot 10^{-10}$ ,  $\tilde{V}_c|_{r_1=2,6} = 3,0653 \cdot 10^{-7}$ ,  $\tilde{V}_c|_{r_1=2,8} = 2,3295 \cdot 10^{-7}$ ,  $\tilde{V}_c|_{r_1=3} = 1,8126 \cdot 10^{-7}$ ,  $F_* = 7,0227 \cdot 10^{-2}$ .

Ниже приведены результаты расчетов для оптимального набора параметров  $k_0$ ,  $G_{12}$ ,  $z_0$ . На рис. 2 показаны зависимости безразмерных силы  $G'_z$  и скорости  $V$  капли от времени  $t$  при  $r_1 = 3$ . На рис. 3 приведена зависимость безразмерного расстояния  $z_1$ , пройденного каплей с момента начала цикла, от времени  $t$  при различных значениях  $r_1$ . На рис. 4 представлена схема движения капли при  $r_1 = 3$ ,  $t = 0,5$  (движение капли прекратилось при  $t = 0,8025$ ).

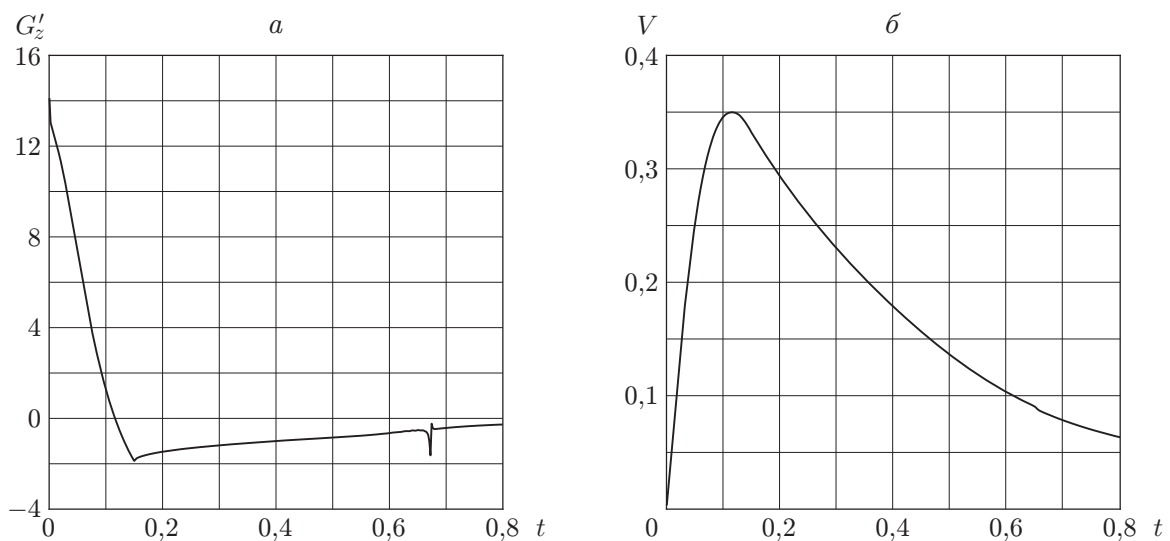


Рис. 2. Зависимости безразмерных силы, действующей на каплю (а), и скорости капли (б) от безразмерного времени в течение одного цикла при  $r_1 = 3$

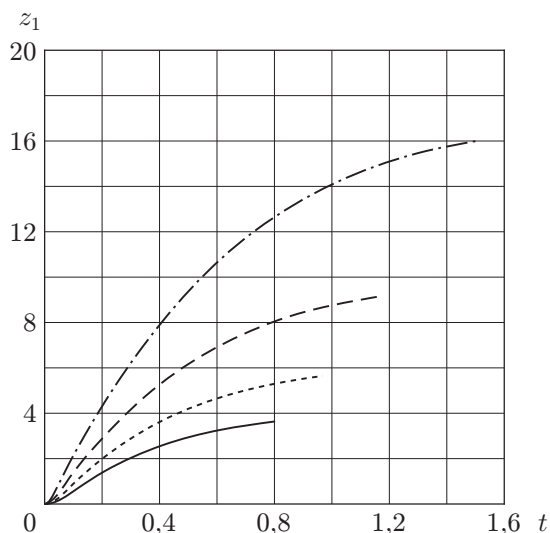


Рис. 3

Рис. 3. Зависимость безразмерного расстояния, пройденного каплей, от безразмерного времени в течение одного цикла при различных значениях  $r_1$ : сплошная линия —  $r_1 = 3$ , пунктирная —  $r_1 = 2,8$ , штриховая —  $r_1 = 2,6$ , штрихпунктирная —  $r_1 = 2,4$

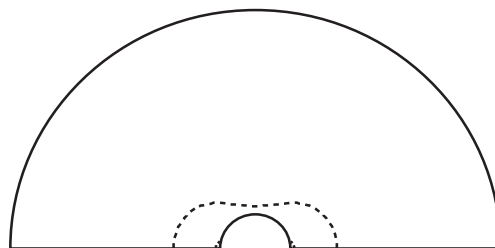


Рис. 4

Рис. 4. Схема движения капли при  $r_1 = 3$ ,  $t = 0,5$ :

сплошная линия — граница области течения (малый полукруг — граница капли, прямые отрезки — отрезки на оси симметрии, большой полукруг — внешняя граница области течения), штриховая — граница жидкой зоны

Ниже приведено макроскопическое описание движения капли. Вследствие малости параметров  $V_0 = 10^{-6}$  м/с,  $t_0 = 10^{-2}$  с не имеет смысла рассматривать все циклы движения капли. Достаточно ограничиться дискретным набором из 11 значений средней по циклу скорости  $\tilde{V}_c$  в точках  $r_{1k} = 3 - 0,1k$ ,  $k = \overline{0, 10}$  ( $r_{1k}$  — значения безразмерного расстояния между центрами капель). Если  $\tilde{V}_c(r_1)$  — функция средней размерной скорости, зависящей от  $r_1$ ,  $t$  — макроскопическое время, измеряемое в секундах, то для определения функции  $r_1(t)$  имеем дифференциальное уравнение

$$r_0 \frac{dr_1}{dt} = -2\tilde{V}_c(r_1),$$

решая которое, находим

$$t(r_1) = \frac{r_0}{2} \int_{r_1}^3 \frac{dr_1}{\tilde{V}_c(r_1)}. \quad (19)$$

Подставляя в (19) вместо  $r_1$  дискретные значения  $r_{1k}$  и вычисляя интеграл методом трапеций, получаем набор дискретных значений  $t_k$ ,  $k = \overline{0, 10}$ .

На рис. 5 показаны экспериментальная и расчетная зависимости  $r_1(t)$ . Видно, что эти зависимости различаются только на заключительной стадии сближения капель ( $r_1 < 2,25$ ). Такое различие можно объяснить неучетом гидродинамического взаимодействия капель при построении расчетной кривой.

**Заключение.** Предложен метод расчета процесса сближения двух одинаковых масляных капель, находящихся в равноплотном спиртово-водном растворе (матрице), рассматриваемом как жидкость Бингама. Капли считаются упругими твердыми телами. На

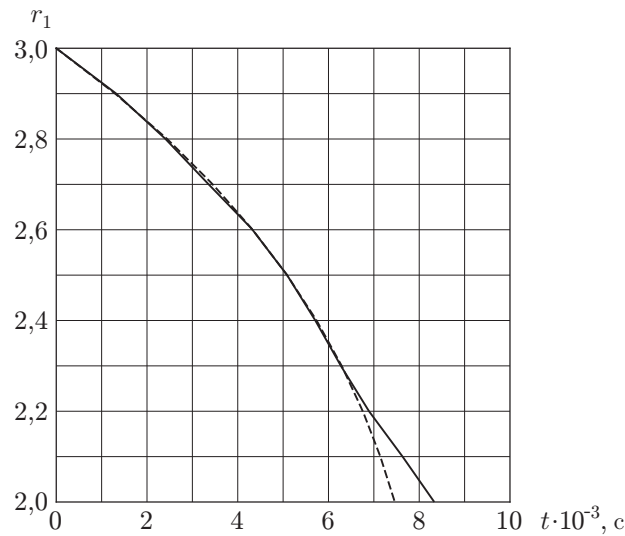


Рис. 5. Зависимость безразмерного расстояния между центрами капель от времени: сплошная линия — экспериментальные данные, штриховая — результаты расчетов

основе выполненных оценок и расчетов установлено, что капля движется циклически в режиме покой — разгон — торможение со временем цикла порядка  $10^{-2}$  с и средней скоростью порядка  $10^{-6}$  м/с. При расчете силы, действующей на каплю, вводится функция  $\xi$  расстояния  $z_1$ , пройденного каплей с момента начала цикла, определяющая долю неразрушенных молекулярных связей в матрице и обращающаяся в нуль после прохождения каплей расстояния  $z_0$  порядка размера одной молекулы воды. Сила, созданная нормальными напряжениями в данный момент времени, определяется как сумма силы, созданной этими напряжениями в состоянии покоя с коэффициентом  $\xi(z_1)$ , и силы, созданной ими под влиянием гидродинамического течения в матрице в тот же момент времени, с коэффициентом  $1 - \xi(z_1)$ . Сила, созданная касательными напряжениями, определяется решением гидродинамической задачи. Влияние второй капли учитывается при расчете нормальных напряжений упругого взаимодействия в состоянии покоя, но не учитывается при расчете гидродинамического течения, так как, с одной стороны, его учет довольно сложен, а с другой — при достаточно большом расстоянии между центрами капель их гидродинамическое взаимодействие незначительно и им можно пренебречь. Осуществлена оптимизация процесса сближения капель по трем параметрам и выбраны значения этих параметров, согласующиеся с экспериментальными данными о динамике движения капель. Значение каждого из этих параметров находится в узком диапазоне: предел текучести матрицы  $k_0 = 10^{-4} \div 10^{-3}$  Па (границы известны из других экспериментов); отношение модулей сдвига масла и спиртово-водного раствора  $G_{12} = 1 \div 5$  (границы заданы с учетом результатов теоретического анализа, выполненного в п. 1); значение  $z_0 \approx 3 \cdot 10^{-10}$  м (размер одной молекулы воды). В расчетах диапазоны значений первых двух параметров сужались:  $k_0 = 10^{-4} \div 5 \cdot 10^{-4}$  Па,  $G_{12} = 2 \div 4$ , а значение  $z_0$  варьировалось в диапазоне  $3 \cdot 10^{-10} \div 7 \cdot 10^{-10}$  м. При оптимальных значениях параметров  $k_0 = 10^{-4}$  Па,  $G_{12} = 4$ ,  $z_0 = 4 \cdot 10^{-10}$  м построены расчетный и экспериментальный графики зависимости расстояния между центрами капель от времени. Экспериментальная и расчетная кривые очень близки при расстоянии между центрами капель  $r_1 = 2,25 \div 3,00$  и существенно различаются на заключительной стадии сближения капель при  $r_1 = 2,00 \div 2,25$ , что объясняется неучетом гидродинамического взаимодействия капель в теоретической модели.

Автор выражает благодарность В. В. Пухначеву и В. В. Шелухину за полезные обсуждения рассматриваемой задачи.

## ЛИТЕРАТУРА

1. **Стебновский С. В.** Термодинамическая неустойчивость дисперсных сред, изолированных от внешних воздействий // ПМТФ. 1999. Т. 40, № 3. С. 53–58.
2. **Стебновский С. В.** О взаимодействии жидких капель, взвешенных в растворах // Журн. техн. физики. 1981. Вып. 10. С. 2177–2180.
3. **Пивоваров Ю. В.** Вычисление силы взаимодействия двух капель, находящихся в пластической среде // ПМТФ. 2009. Т. 50, № 6. С. 100–114.
4. **Шелухин В. В.** Модель жидкости Бингама в переменных напряжение — скорость // Докл. АН. 2001. Т. 377, № 4. С. 455–458.
5. **Malek J., Ruzicka M., Shelukhin V. V.** Herschel — Bulkley fluids: existence and regularity of steady flows // Math. Models Methods Appl. Sci. 2005. V. 15, N 12. P. 1845–1861.
6. **Кочин Н. Е.** Теоретическая гидромеханика / Н. Е. Кочин, И. А. Кибель, Н. В. Розе. М.: Физматгиз, 1963. Ч. 2.
7. **Beris A. N., Tsamopoulos J. A., Armstrong R. C., Brown R. A.** Creeping motion of a sphere through a Bingham plastic // J. Fluid Mech. 1985. V. 158. P. 219–244.
8. **Ландау Л. Д.** Теория упругости / Л. Д. Ландау, Е. М. Лифшиц. М.: Наука, 1965.
9. **Пивоваров Ю. В.** Расчет движения жидкости с переменной вязкостью в области с криволинейной границей // Вычисл. технологии. 2005. Т. 10, № 3. С. 87–107.

*Поступила в редакцию 15/VII 2011 г.,  
в окончательном варианте — 31/X 2011 г.*

---